

# 1 正交多项式作为基函数下的多项式投影

## 1.1 正交多项式投影

对函数  $f \in L^2_\omega(I)$ , 定义其加权  $L^2$  范数为:

$$\|f\|_{L^2_\omega} = \left( \int_I f^2(x) \omega(x) dx \right)^{\frac{1}{2}}$$

对应的内积为:

$$(f, g) = \int_I f(x)g(x) \omega(x) dx$$

设  $\{\phi_i(x)\}_{i=0}^N \subset \mathcal{P}_N$  为权函数  $\omega(x)$  对应的正交多项式族, 满足:

$$(\phi_m, \phi_n) = \|\phi_m\|_{L^2_\omega}^2 \delta_{mn}$$

定义投影算子  $P_N : L^2_\omega(I) \rightarrow \mathcal{P}_N$ , 使得对任意  $f \in L^2_\omega(I)$ , 有:

$$(f, \phi_i) = (P_N f, \phi_i), \quad i = 0, 1, \dots, N$$

则投影函数可表示为:

$$P_N f = \sum_{i=0}^N \hat{f}_i \phi_i(x), \quad \text{其中 } \hat{f}_i = \frac{(f, \phi_i)}{\|\phi_i\|_{L^2_\omega}^2}$$

实现正交多项式投影的代码如下, 函数 `projection` 用于计算  $\hat{f}_i$ , 函数 `evaluate` 用于计算最终的  $\sum_{i=0}^N \hat{f}_i \phi_i(x)$ . 其中积分的部分使用了高斯求积进行数值积分。

```
/// @brief 正交多项式投影的系数
/// @param f 待投影的函数
/// @param poly 基函数 (正交多项式)
/// @param N 正交多项式的最高阶数
/// @return 投影系数
std::vector<double> projection(
    const std::function<double(double)> &f,
    const Polynomial &poly,
    int N)
{
    std::vector<double> coeffs(N + 1);
    const auto &points = poly.get_points();
    const auto &weights = poly.get_weights();
    std::vector<double> vals;
    for (size_t i = 0; i < points.size(); ++i)
    {
        double x = points[i];
        double w = weights[i];
        double fx = f(x);
```

```

vals = poly.eval_all(N, x);
for (int k = 0; k <= N; ++k)
{
    coeffs[k] += w * fx * vals[k]; // 相当于计算内积时做的积分
}
}

// 归一化
for (int k = 0; k <= N; ++k)
{
    coeffs[k] /= poly.norm(k);
}
return coeffs;
}

/// @brief 求网格上每个点的值
/// @param coeffs 投影系数
/// @param poly 正交多项式
/// @param x_grid 网格
/// @return 每个网格点上的投影值
std::vector<double> evaluate(
    const std::vector<double> &coeffs,
    const Polynomial &poly,
    const std::vector<double> &x_grid)
{
    std::vector<double> result;
    result.reserve(x_grid.size());

    for (double x : x_grid)
    {
        auto phis = poly.eval_all(coeffs.size() - 1, x);
        double sum = 0.0;
        for (size_t k = 0; k < coeffs.size(); ++k)
        {
            sum += coeffs[k] * phis[k];
        }
        result.push_back(sum);
    }

    return result;
}

```

## 1.2 误差的收敛性

设  $f(x) \in H_\omega^{2m}[-1, 1]$ , 其中  $m \geq 0$ , 则存在与  $N$  无关的常数  $C > 0$ , 使得:

$$\|f - P_N f\|_{L_\omega^2[-1, 1]} \leq C N^{-2m} \|f\|_{H_\omega^{2m}[-1, 1]}$$

并且有:

1. 对于固定的  $N$ , 函数  $f$  越光滑 (即  $2m$  越大), 收敛性越快, 即**谱收敛**。
2. 若  $f(x)$  是解析函数 (无限光滑), 则:

$$\|f - P_N f\| \leq C e^{-\alpha N} \|f\|_{L^2}$$

3. 若  $f(x)$  有间断, 则会出现 Gibbs 现象。

L2 误差由下面的代码计算:

```
double l2_error(
    const std::function<double(double)> &f,
    const std::vector<double> &coeffs,
    const Polynomial &poly)
{
    auto residual = [&](double x)
    {
        double fx = f(x);
        auto phis = poly.eval_all(coeffs.size() - 1, x);
        double approx = 0;
        for (size_t k = 0; k < coeffs.size(); ++k)
            approx += coeffs[k] * phis[k];
        return (fx - approx) * (fx - approx);
    };
    return std::sqrt(poly.integrate(residual));
}
```

## 1.3 Legendre 多项式

Legendre 多项式  $P_n(x)$  是区间  $[-1, 1]$  上权函数  $w(x) \equiv 1$  的正交多项式:

$$P_n(x) = \frac{1}{2^n n!} \frac{d^n}{dx^n} (x^2 - 1)^n$$

满足递推关系 (对  $n > 0$ ):

$$P_{n+1}(x) = \frac{2n+1}{n+1} x P_n(x) - \frac{n}{n+1} P_{n-1}(x)$$

前几项具体形式为:

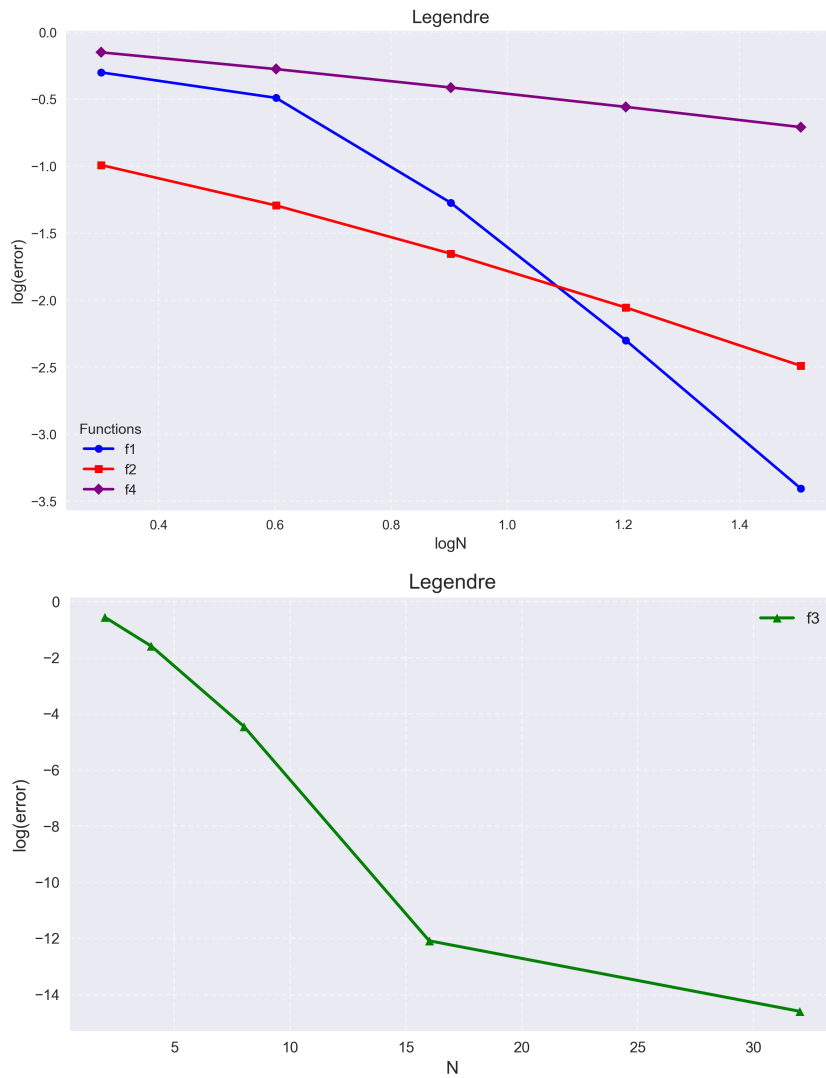
$$P_0(x) = 1, \quad P_1(x) = x, \quad P_2(x) = \frac{3}{2}x^2 - \frac{1}{2}, \quad \dots$$

L2 误差如表1所示:

表 1: 不同函数在 Legendre 正交投影下的  $L^2$  误差

函数	$N = 2$	$N = 4$	$N = 8$	$N = 16$	$N = 32$
$f_1(x)$	5.0088e-01	3.2354e-01	5.3275e-02	5.0222e-03	3.9416e-04
$f_2(x)$	1.0202e-01	5.0984e-02	2.2264e-02	8.8244e-03	3.2452e-03
$f_3(x)$	2.7579e-01	2.5962e-02	3.5557e-05	8.2104e-13	2.5188e-15
$f_4(x)$	7.0706e-01	5.3022e-01	3.8641e-01	2.7695e-01	1.9576e-01

对  $f_1(x), f_2(x), f_4(x)$  画  $\log(\text{error})$  与  $\log N$  的坐标图, 对  $f_3(x)$  画  $\log(\text{error})$  与  $N$  的坐标图, 如图1所示:

图 1: Legendre 投影的  $L^2$  误差

从图1可以看出,对于函数  $f_1(x) = |\sin(\pi x)|^3, f_2(x) = |x|, f_4(x) = \text{sign}(x)$ ,  $\log(\text{error}) = -k \log(N)$ , 接近直线, 这与理论分析相符合。并且,  $|\sin(\pi x)|^3$  在  $x = 0$  处是二阶可导的, 比  $|x|$  更加光滑, 因此坐标图中  $f_1(x)$  的斜率更陡, 收敛更快。

而  $f_3(x) = \cos(\pi x)$  是解析的, 因此  $f_3(x)$  的坐标图中  $\log(\text{error}) = -kN$ , 同样接近直线。

我们还可以画出 Legendre 多项式的投影与原函数的对比, 如图2所示, 可以看出随着正交多项式最高阶数  $N$  的增大, 投影结果越来越接近原函数。

同时, 由于  $f(x) = \text{sign}(x)$  是间断的, 因此图像中出现了 Gibbs 现象。

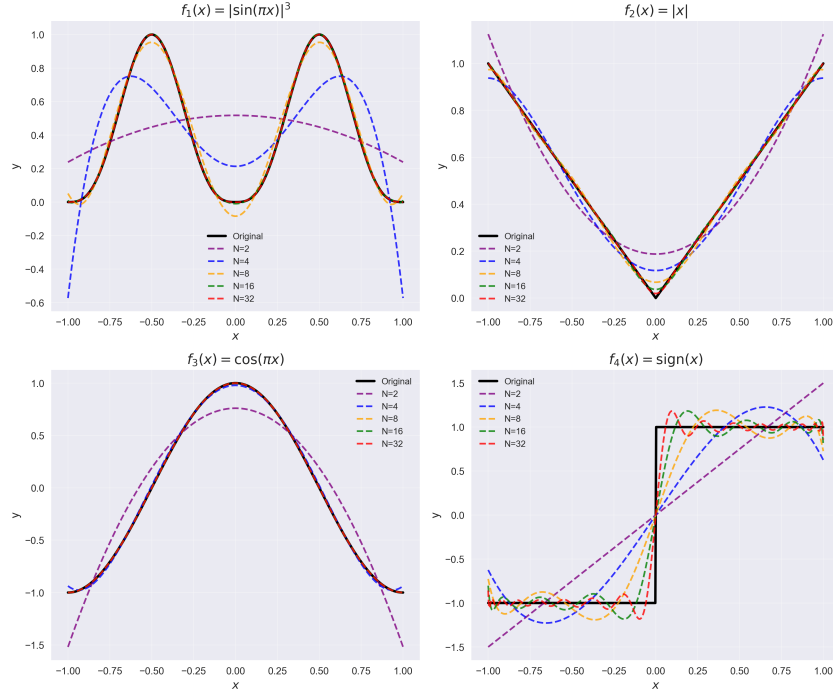


图 2: Legendre 投影与原函数

#### 1.4 Hermite 多项式

Hermite 多项式是在区间  $(-\infty, \infty)$  上关于权函数  $\omega(x) = \frac{1}{\sqrt{\pi}} e^{-x^2}$  的正交多项式。

其递推关系为:

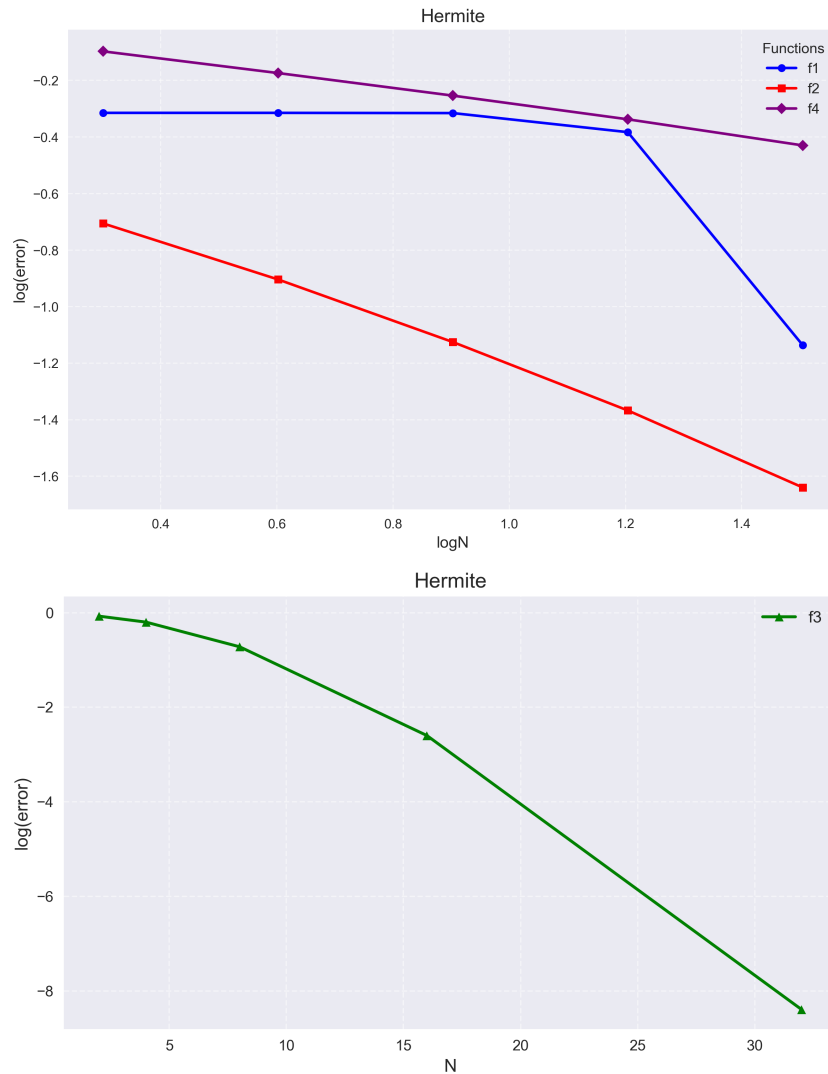
$$H_{n+1}(x) = 2xH_n(x) - 2nH_{n-1}(x)$$

L2 误差如表2所示:

表 2: Hermite 正交投影下的  $L^2$  误差

函数	$N = 2$	$N = 4$	$N = 8$	$N = 16$	$N = 32$
$f_1(x)$	4.8453e-01	4.8452e-01	4.8368e-01	4.1403e-01	7.3055e-02
$f_2(x)$	1.9694e-01	1.2479e-01	7.4930e-02	4.2935e-02	2.2931e-02
$f_3(x)$	8.4753e-01	6.3508e-01	1.9094e-01	2.5303e-03	4.0499e-09
$f_4(x)$	7.9964e-01	6.7009e-01	5.5748e-01	4.5973e-01	3.7172e-01

画出  $\log(\text{error})$  与  $\log N$  和  $\log(\text{error})$  与  $N$  的坐标图如图3所示:

图 3: Hermite 投影的  $L^2$  误差

与 Legendre 多项式的结果一样,对于函数  $f(x) = |\sin(\pi x)|^3, f(x) = |x|, f(x) = \text{sign}(x), \log(\text{error}) = -k\log(N)$ , 接近直线, 并且  $|\sin(\pi x)|^3$  比  $|x|$  更加光滑, 因此坐标图中  $f_1(x)$  的斜率更陡, 收敛更快。

而  $f(x) = \cos(\pi x)$  是解析的, 因此  $f_3(x)$  的坐标图中  $\log(\text{error}) = -kN$ , 同样接近直线。

我们同样画出 Hermite 多项式的投影与原函数的对比, 如图4所示, 与 Legendre 多项式的结果一致, 由于  $f(x) = \text{sign}(x)$  是间断的, 图像中出现了 Gibbs 现象。

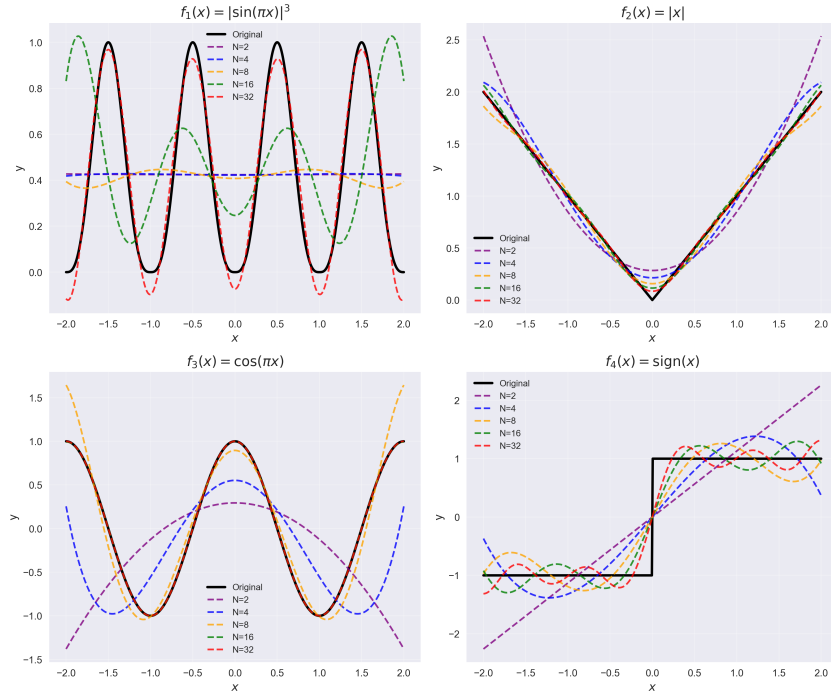


图 4: Hermite 投影与原函数

对比 Legendre 多项式与 Hermite 多项式的结果，对于本次测试的函数，在  $[-1, 1]$  区间上，以 Legendre 多项式作为基函数的多项式投影与原函数更为接近，误差更小。

## 2 使用的第三方库

本次作业使用了 Boost 库 (version 1.89.0) 和 GSL 库 (version 2.8)。参考网页链接：

- Boost 库: <https://www.boost.org/library/latest/math/>
- GSL 库: <https://www.gnu.org/software/gsl/doc/html/index.html>